

## 地盤中の横円形基礎の振動解析について

京都大学 工学部

正員

後藤 尚男

京都大学防災研究所

正員

土岐 意三

京都大学 工学部

正員

○秋吉 草

1. まえがき 地盤中にある構造物の振動特性やその耐震設計に際してはまだ未解決の問題が多いが、円形断面の構造物基礎については詳細な理論的な解析<sup>1)</sup>がすでに行なわれている。また、横円形断面を有する構造物の動搖振動については筆者等も同様な研究<sup>2)</sup>を行なったが、ここでは横円形断面を持つ杭の弾性振動について論じ、振動性状と断面形状との関係について検討を進めた。

2. 地盤の運動と杭に働く振動圧 解析に当っては

図-1に示したごとく、横円形断面の杭が厚さHの表層地盤を経て基礎地盤で支持されている振動系を考え、このような振動系の全体が水平方向に調和運動を行うものとする。また、表層地盤は均質等方な弾性体と考え、鉛直方向の変位成分は水平方向に比較して小さいものとしてこれを省略する。振動系全体が短軸方向に運動する場合の表層地盤の運動方程式は横円筒座標系(ξ, η, z)において次式で表わされる。

$$(\lambda+2\mu)\frac{\partial}{\partial \xi}\left\{\frac{\partial}{\partial \xi}(l u_\xi)+\frac{\partial}{\partial \eta}(l u_\eta)\right\}-\mu\frac{\partial}{\partial \eta}\left\{\frac{\partial}{\partial \xi}(l u_\eta)-\frac{\partial}{\partial \eta}(l u_\xi)\right\}+\mu\frac{\partial^2 u_z}{\partial z^2}=\rho\frac{\partial^2 u_z}{\partial t^2}-\rho e_0 w^2 e^{i\omega t} \frac{e^{-kz} \sin \xi}{l} \quad (1)$$

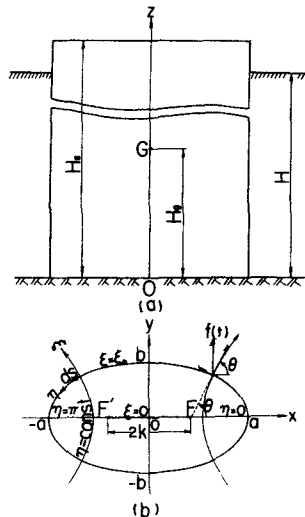
$$(\lambda+2\mu)\frac{\partial}{\partial \eta}\left\{\frac{\partial}{\partial \xi}(l u_\xi)+\frac{\partial}{\partial \eta}(l u_\eta)\right\}+\mu\frac{\partial}{\partial \xi}\left\{\frac{\partial}{\partial \eta}(l u_\eta)-\frac{\partial}{\partial \xi}(l u_\xi)\right\}+\mu\frac{\partial^2 u_\eta}{\partial z^2}=\rho\frac{\partial^2 u_\eta}{\partial t^2}-\rho e_0 w^2 e^{i\omega t} \frac{e^{-kz} \cos \xi}{l} \quad (2)$$

ここで、 $l = \sqrt{\cosh 2\xi - \cos 2\eta}/\sqrt{2}$ 、入、 $\mu$ : Lamé の定数、 $\rho$ : 地盤の密度、 $u_z$ : 基礎の最大振幅、 $k = \sqrt{a^2 - b^2}$ 、 $a, b$ : 横円形断面の長径と短径、 $u_\xi, u_\eta$ :  $\xi, \eta$  方向の変位  
基盤面および地表面での境界条件を満足する式(1), (2)の解を求め、しかも後、横円形断面の杭構造物表面に作用する高さ方向単位長さ当たりに作用する全振動圧 $p(z)$ を計算すると、次式が得られる。

$$p(z) = - \sum_{m=1,3,5}^{\infty} \rho \pi w^2 \xi_m^2 \left\{ C_1 a B_1^{(1)} N_e^{(2)}(\xi_0, g_2) + D_1 b A_1^{(1)} M_e^{(2)}(\xi_0, g_2) \right\} \sin \frac{m\pi z}{2H} e^{-i\omega t} \quad (3)$$

ここで、 $M_e^{(2)}(\xi_0, g_2)$ ,  $N_e^{(2)}(\xi_0, g_2)$  は変形マニッシュ関数である。さらに、 $w_2 = v_t \pi / 2H$ ,  $\xi_m^2 = (\omega / w_2)^2 - m^2$ ,  $g_1 = \frac{v_t^2}{4} \left( \frac{\pi}{2H} \right)^2 \left( \frac{v_t^2}{V_1} \right) \xi_m^2$ ,  $g_2 = \frac{v_t^2}{4} \left( \frac{\pi}{2H} \right)^2 \xi_m^2$ ,  $v_t^2 = \mu / \rho$ ,  $V_1^2 = (\lambda + 2\mu) / \rho$ ,  $m$  は正整数,  $C_1, D_1$  は積分定数である。

上式中の積分定数  $C_1, D_1$  は横円形断面構造物の表面における境界条件から決定されるが、これは構造物の振動形態によつて変化する。



Model and Elliptic Cross Section

### 3. 地盤中のにおける横円筒の弾性振動

基盤面で支持され、その頂部は頂面地表面と一致している横円筒を考え、地表面上にある上部構造物の慣性力は横円筒の頂部に水平方向に作用するものとすれば、その中心軸の水平方向の変位  $u_p$  に関する式が成立つ。

$$P_p^* \pi ab \frac{\partial^2 u_p}{\partial t^2} + EI \frac{\partial^4 u_p}{\partial z^4} = -P_p^* \pi ab \ddot{u}_g + p(z) + g(z) \quad (4)$$

ここで、 $P_p^*$  は横円筒の密度であり、 $p(z)$  は横円筒表面に働く振動圧、 $g(z)$  は上部構造物から伝達される水平力である。いま、横円筒の変位  $u_p$  を次式のごとく正弦フーリエ級数で展開する。

$$u_p(z) = \sum_{m=1,3,5,\dots}^{\infty} U_m \sin \frac{m\pi z}{2H} e^{i\omega t} \quad (5)$$

このとき、横円筒表面で満足すべき境界条件を考慮すれば、式(3)中の積分定数は  $U_m$  を含む関数項に置き換えられる。また、 $g(z)$  は変位  $u_p$  を用いて次式のごとく表わされる。

$$g(z) = \frac{W}{g} \omega^2 [u_p(H) + u_g] \frac{2}{H} \sum_{m=1,3,5,\dots}^{\infty} (-1)^{\frac{m-1}{2}} \sin \frac{m\pi z}{2H} e^{i\omega t} \quad (6)$$

以上の式(3), (5), (6)を式(4)に代入めれば、 $U_m$  は次式のようになに計算される。

$$U_m = \frac{(P_p^* + P \Omega_m) \pi ab u_g \omega^2 \frac{4}{m\pi} + \frac{2}{H} (-1)^{\frac{m-1}{2}} \frac{W}{g} [u_p(H) + u_g]}{EI \left(\frac{m\pi}{2H}\right)^2 - P_p^* \pi ab \omega^2 - P \pi ab \Omega_m \xi_m^2 \omega_g^2} \quad (7)$$

ここで、 $W$  は上部構造物の重量、 $EI$  は横円筒の曲げ剛性であり、 $\Omega_m$  は次式で示される。

$$\Omega_m = \frac{\frac{a}{b} (B_1^{(0)})^2 \sum_{r=0}^{\infty} (A_{2r+1}^{(1)})^2 \frac{M_{e1}^{(2)}(\xi_0, \theta_2)}{M_{e1}^{(2)}(\xi_0, \theta_2)} + \frac{b}{a} (A_1^{(0)})^2 \sum_{r=0}^{\infty} \frac{N_{e1}^{(0)}(\xi_0, \theta_1)}{N_{e1}^{(2)}(\xi_0, \theta_1)} - 2 A_1^{(0)} B_1^{(1)} \sum_{r=0}^{\infty} (2r+1) A_{2r+1}^{(0)} B_{2r+1}^{(1)}}{\sum_{r=0}^{\infty} (A_{2r+1}^{(1)})^2 \sum_{r=0}^{\infty} (B_{2r+1}^{(1)})^2 \frac{M_{e1}^{(2)}(\xi_0, \theta_2)}{M_{e1}^{(2)}(\xi_0, \theta_2)} \frac{N_{e1}^{(2)}(\xi_0, \theta_1)}{N_{e1}^{(2)}(\xi_0, \theta_1)} - \left\{ \sum_{r=0}^{\infty} (2r+1) A_{2r+1}^{(1)} B_{2r+1}^{(1)} \right\}^2} \quad (8)$$

式(7)を式(5)に用いれば、横円筒の振動変位  $u_p$  が求まる。基礎地盤の変位  $u_g$  に対する横円筒の絶対変位 ( $u_p(z) + u_g$ ) の増幅率  $\kappa(z)$  を定義すれば、それは次式で与えられる。

$$\kappa(z) = \left| \frac{u_p(z) + u_g}{u_g} \right| = \left| \left( \frac{\omega}{\omega_s} \right)^2 \frac{1 + (\frac{\omega}{\omega_g})^2 G(H, \omega)}{1 - (\frac{\omega}{\omega_s})^2 \frac{F(H, \omega)}{F(H, 0)}} \cdot \frac{F(z, \omega)}{F(H, 0)} + \left( \frac{\omega}{\omega_g} \right)^2 G(z, \omega) \right| \quad (9)$$

ただし、

$$F(z, \omega) = \sum_{m=1,3,5,\dots}^{\infty} \frac{(-1)^{\frac{m-1}{2}}}{m^4 - \chi_2 \frac{P_p^*}{P} \left( \frac{\omega}{\omega_g} \right)^2 - \chi_2 \xi_m^2 \Omega_m} \sin \frac{m\pi z}{2H}$$

$$G(z, \omega) = \sum_{m=1,3,5,\dots}^{\infty} \frac{\chi_2 (\Omega_m + \frac{P_p^*}{P} \frac{\omega}{\omega_g}) \frac{4}{m\pi}}{m^4 - \chi_2 \frac{P_p^*}{P} \left( \frac{\omega}{\omega_g} \right)^2 - \chi_2 \xi_m^2 \Omega_m} \sin \frac{m\pi z}{2H}, \quad \chi_2 = \frac{P \pi ab}{EI} \left( \frac{2H}{\pi} \right)^2 v_t^2$$

式(9)は基盤からの距離  $z$  の関数であるが  $\omega$  の関数とも考えられるから、この式は地盤中の任意の深さにおける横円筒の弾性振動に関する周波数応答曲線を与えるものである。以上は短軸方向の振動についての解析であるが、長軸方向についても上と同様な議論ができる。専門教科書の方法とその結果について12講演時に譲る。

1) 田治見 泰：深い基礎を有する構造物の地震応答について、日本地震工学シンポジウム(1966)講演集、昭41.10.

2) 後藤尚男・土岐憲三・秋吉 卓：弾性地盤中の横円形基礎の振動性状、東京大学防災研究所年報第11号A、昭43.3.